

Fig. 1

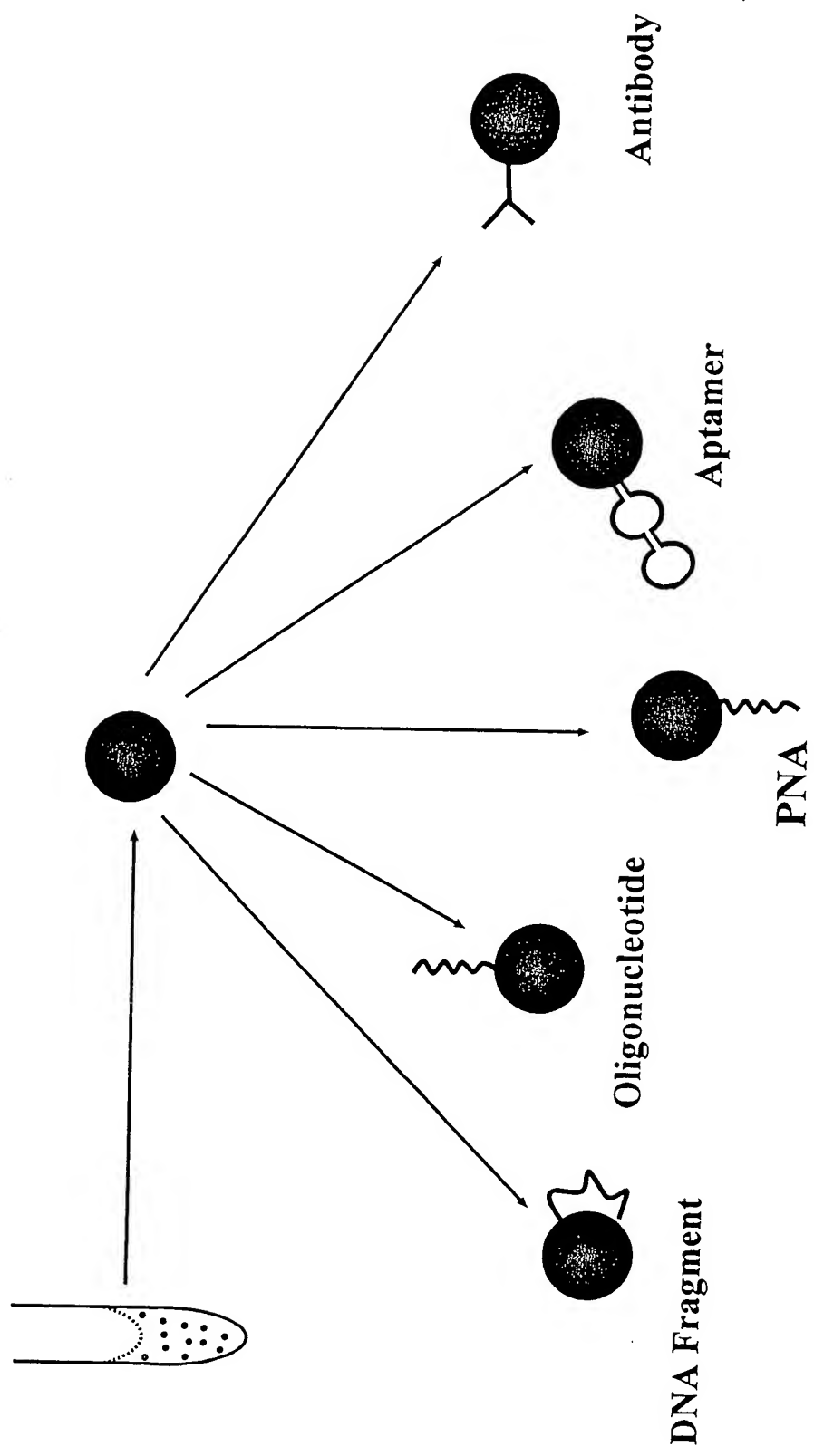
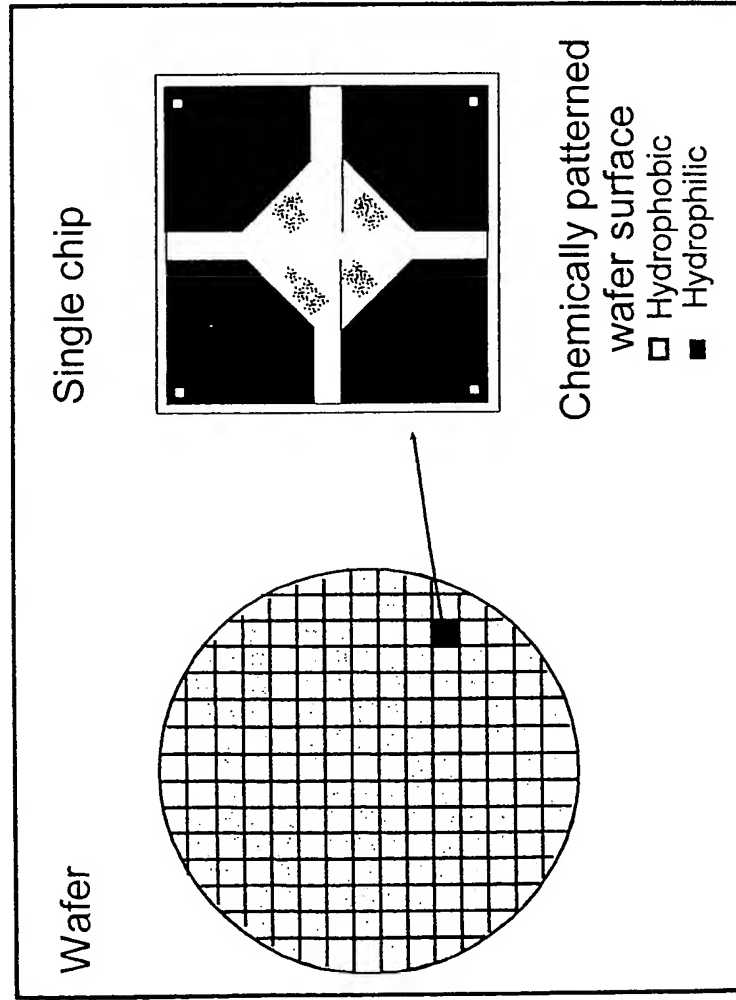


Fig. 2

## IN-HOUSE



## FOUNDRY

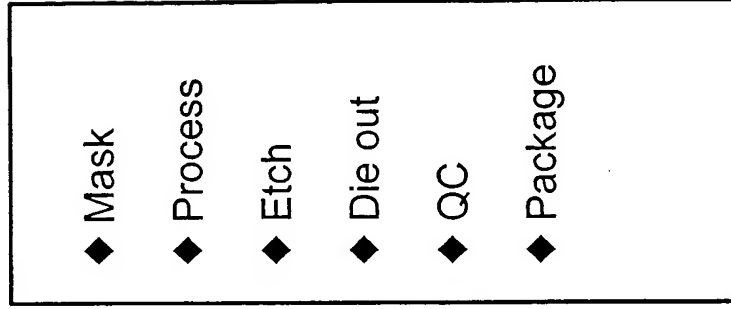


Fig. 3

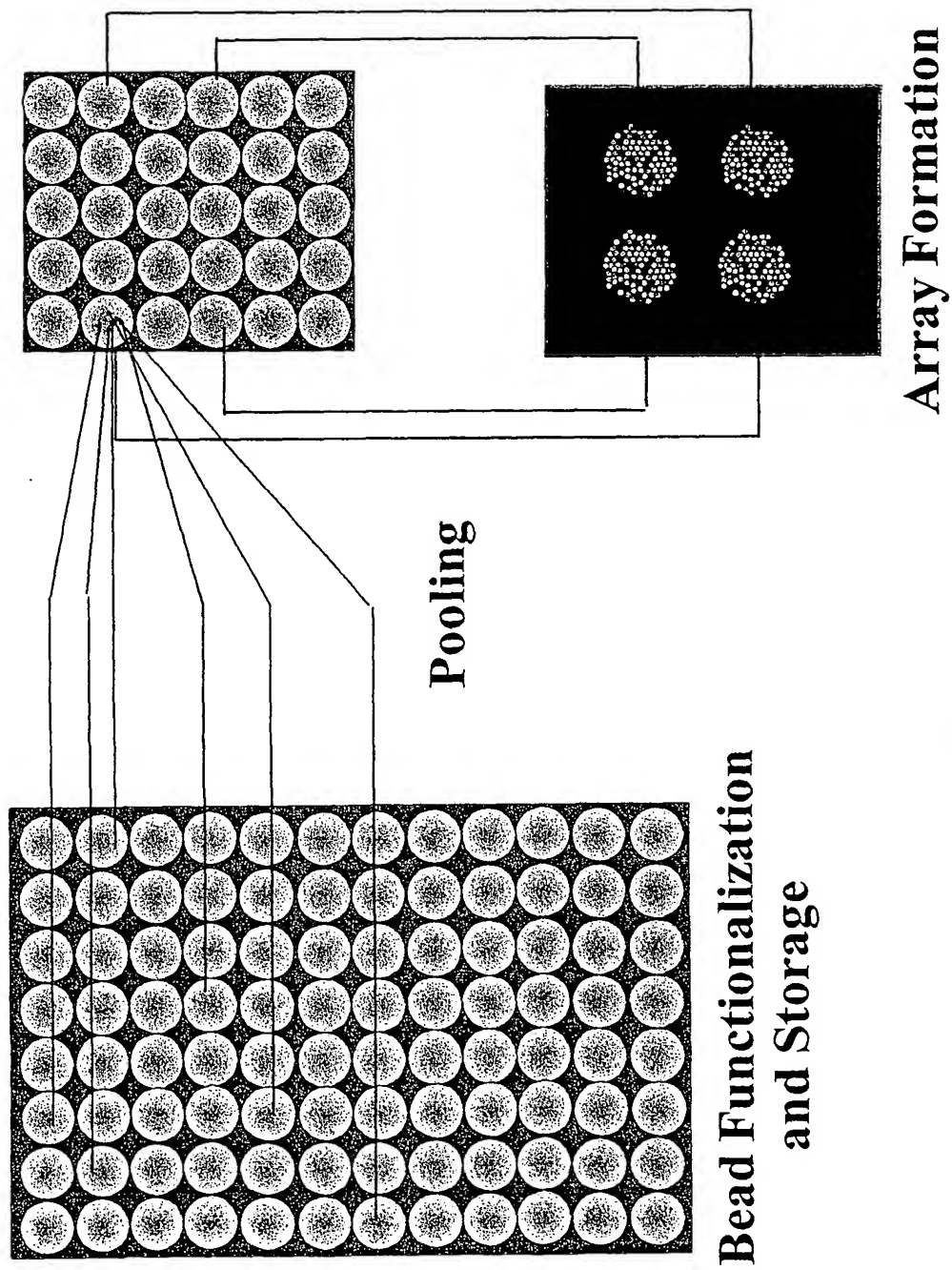


Fig. 4

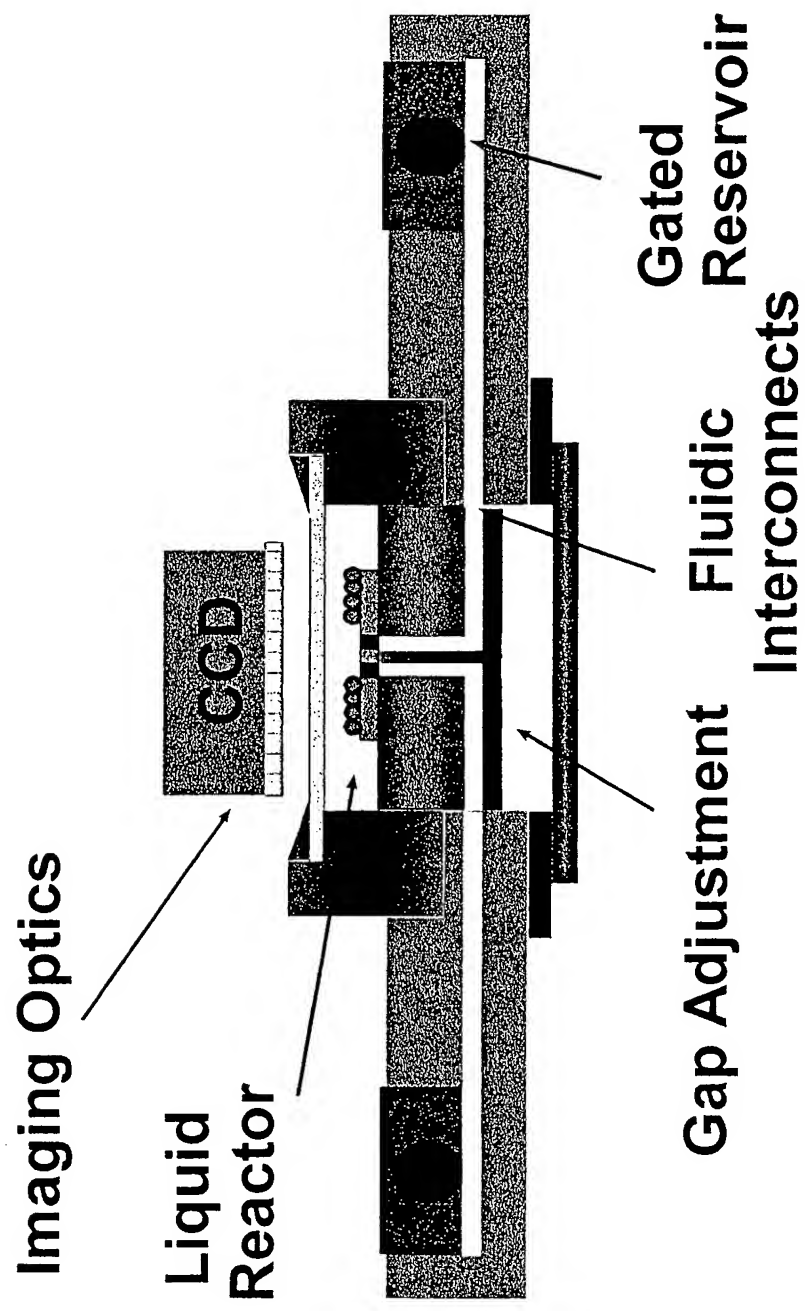
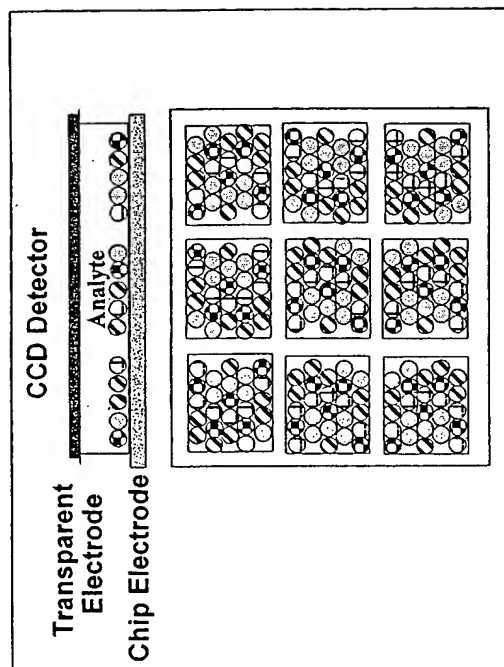


Fig. 5

## Decoding of Bead Types



## Imaging/Detection

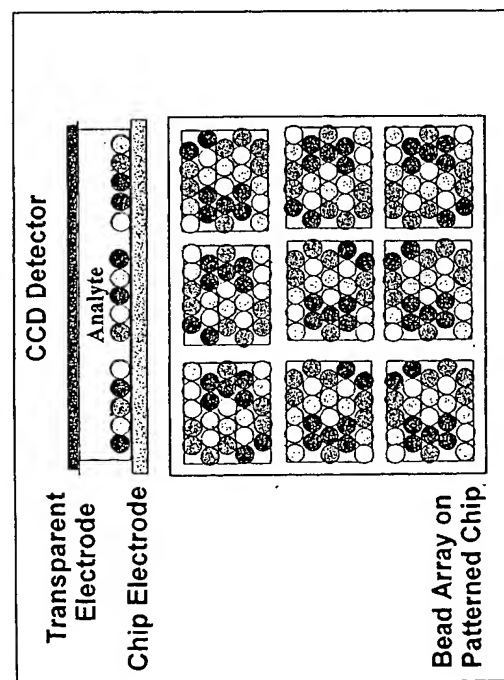


Fig. 6

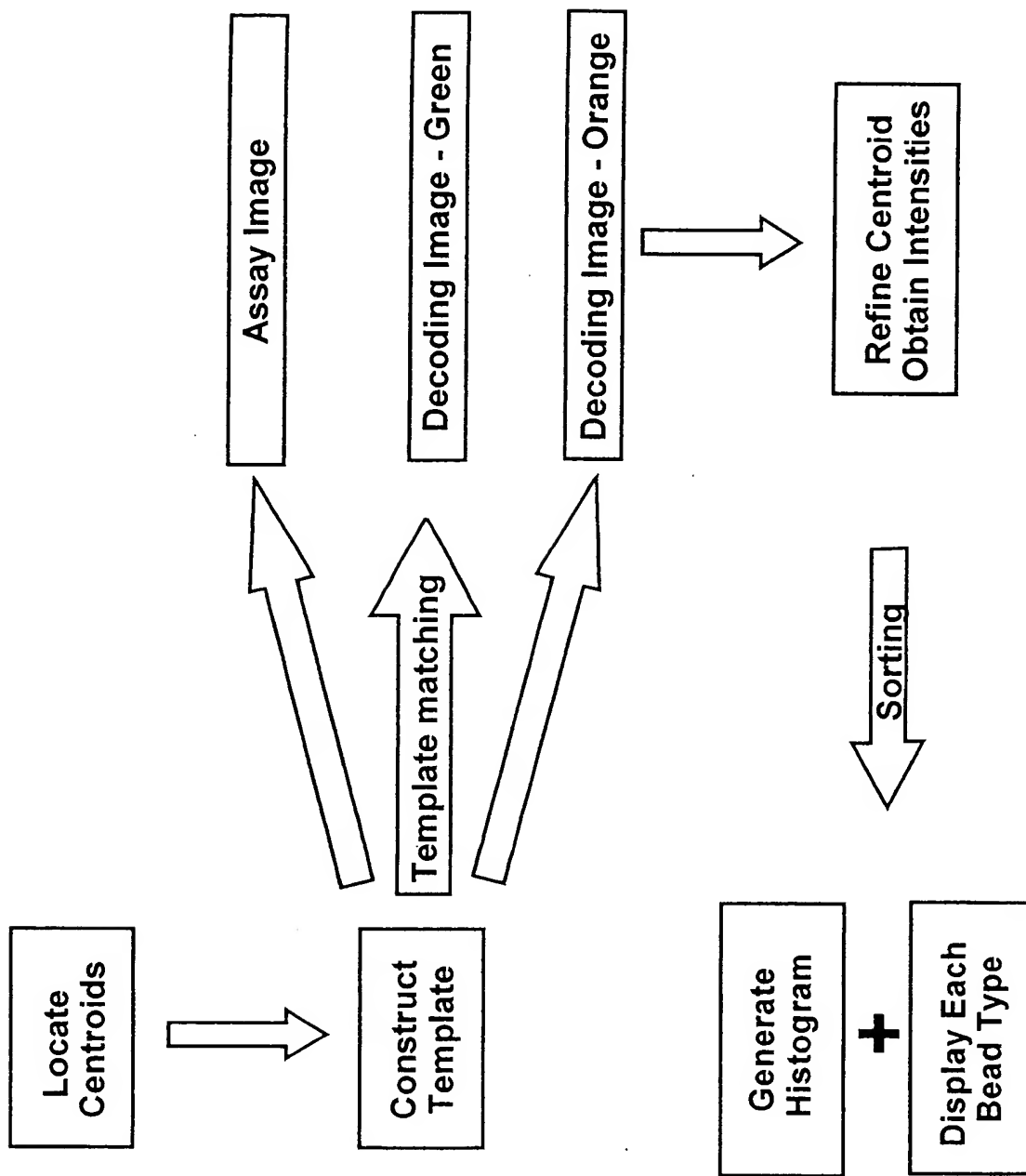


Fig. 7

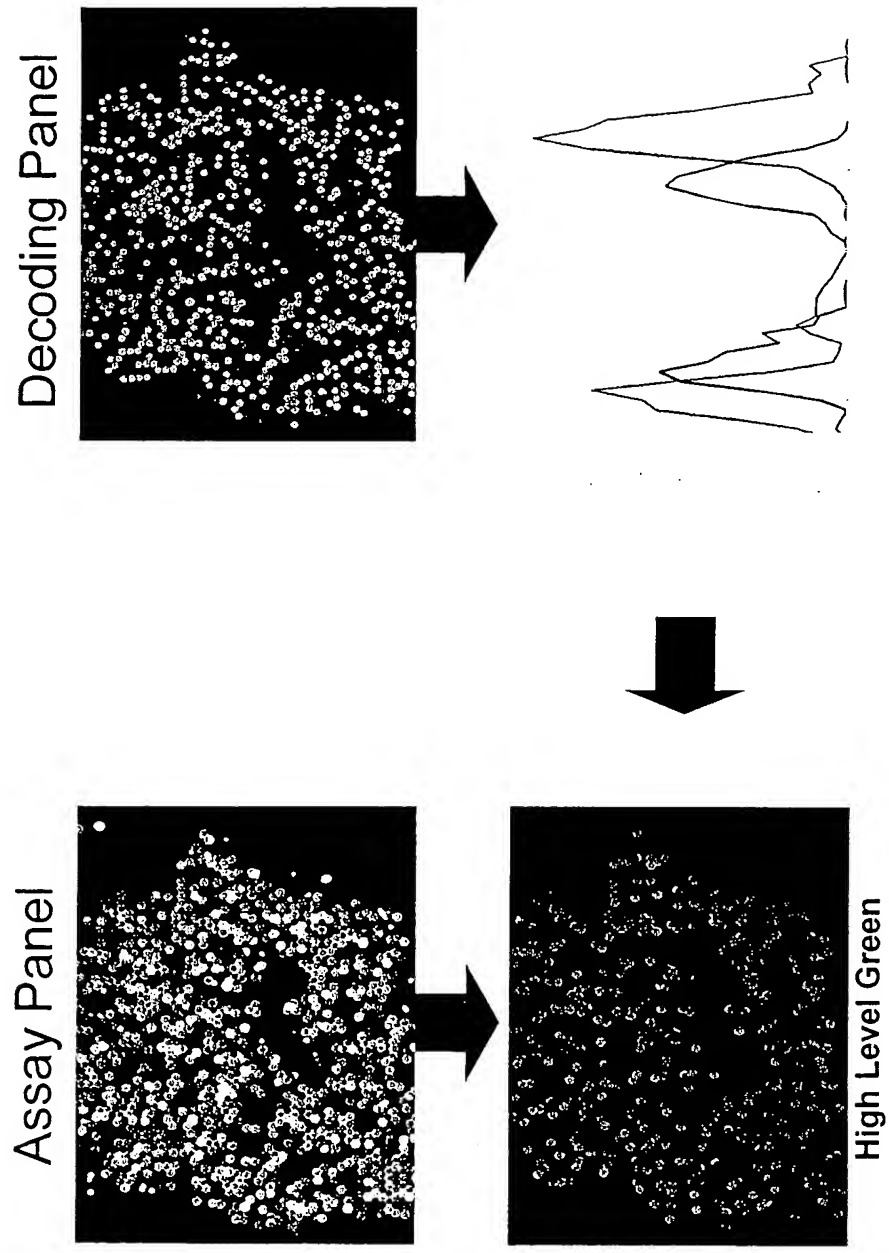


Fig. 8



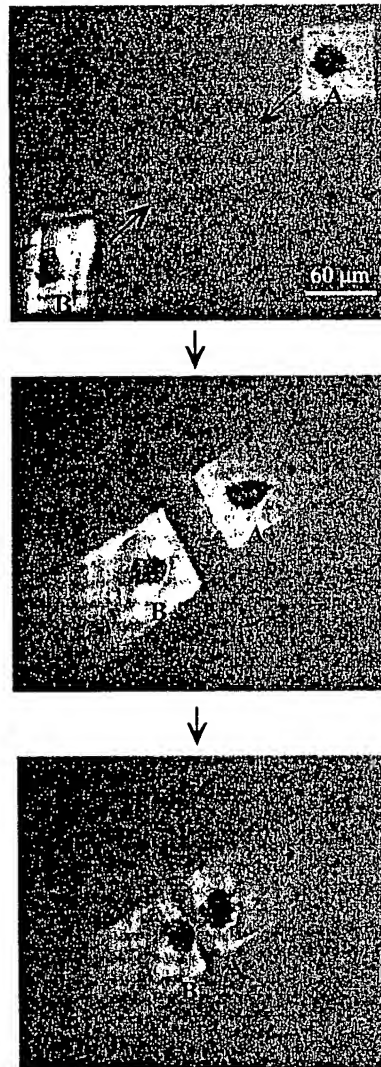


Fig. 9

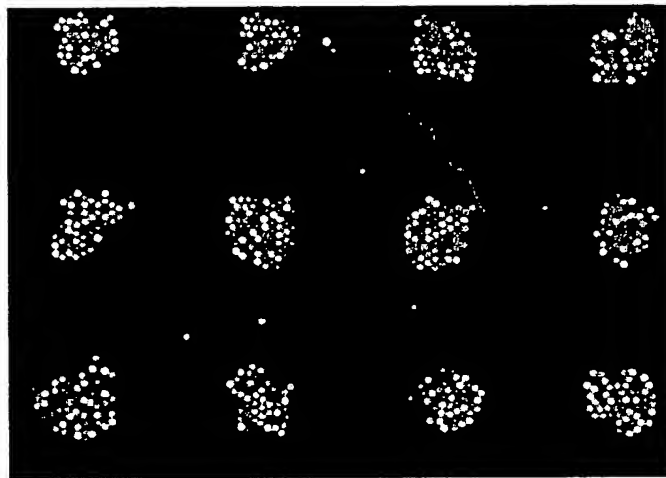


Fig. 10

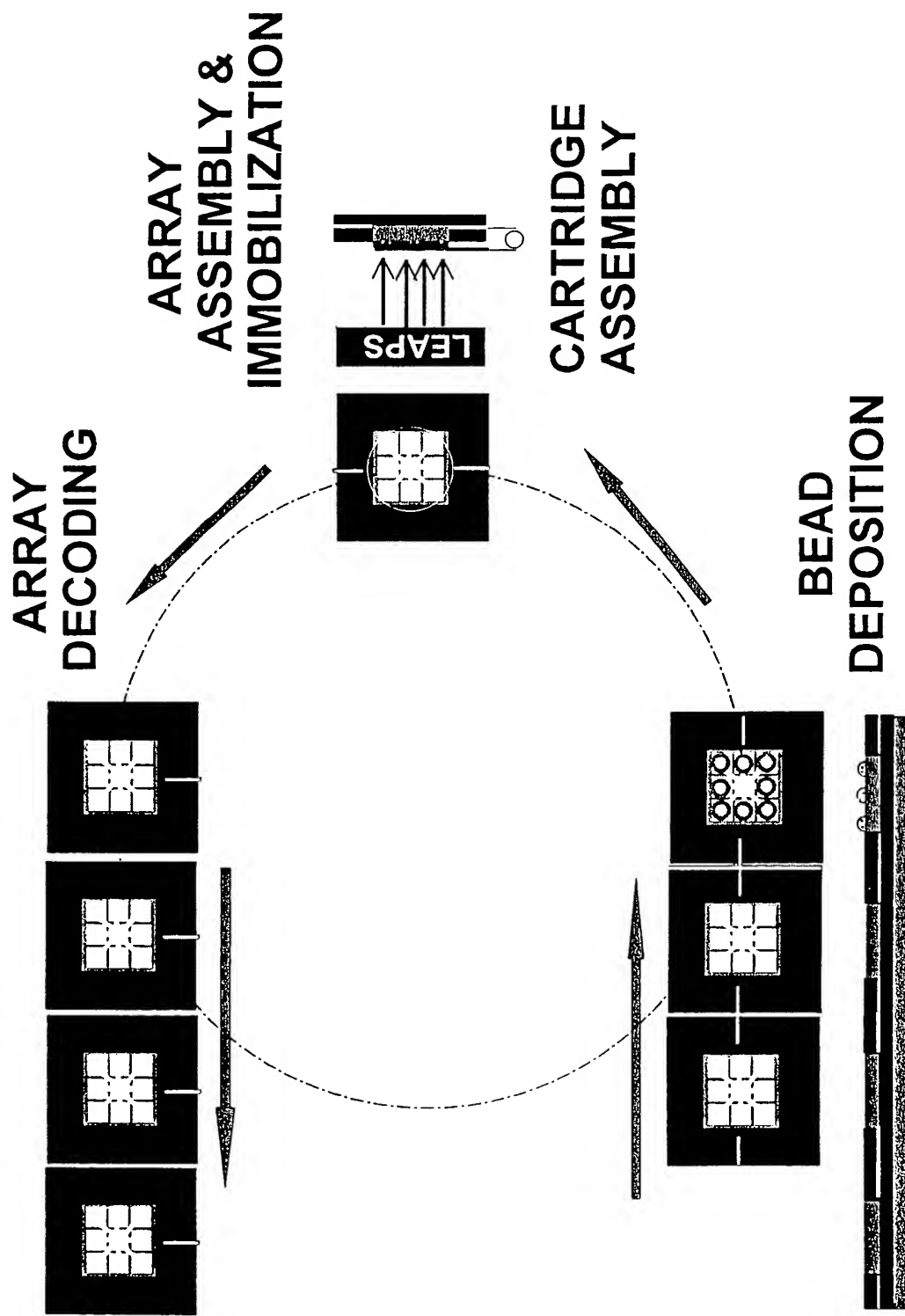
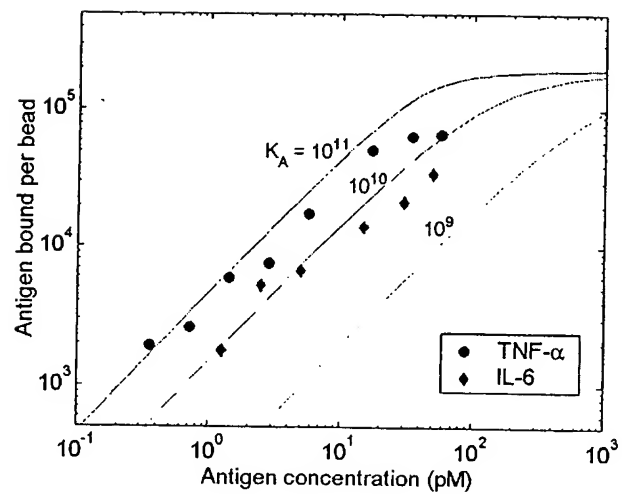


Fig. 11



**Fig. 12**

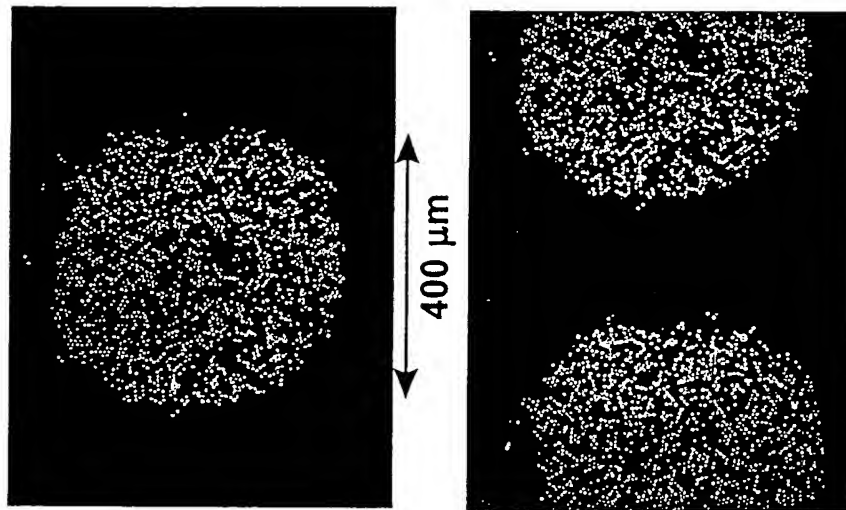
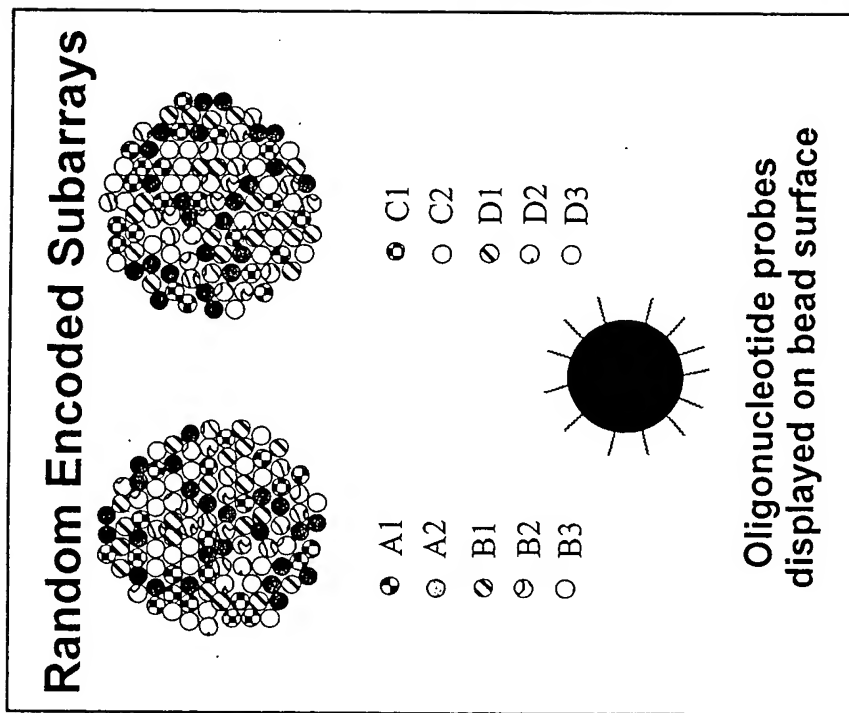


Fig. 13

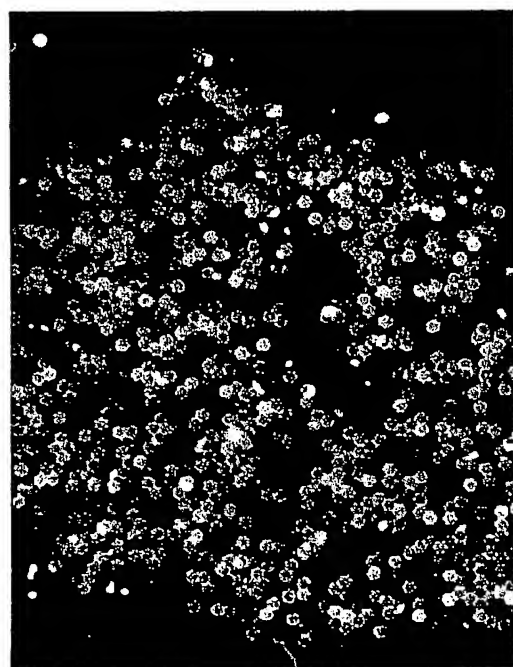
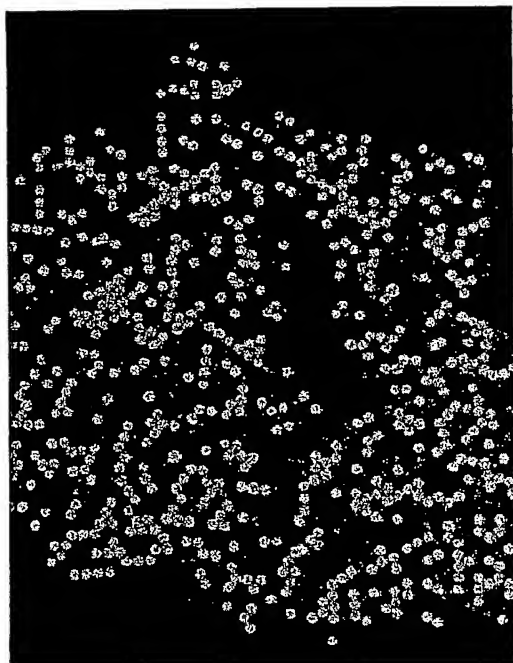


Fig. 14

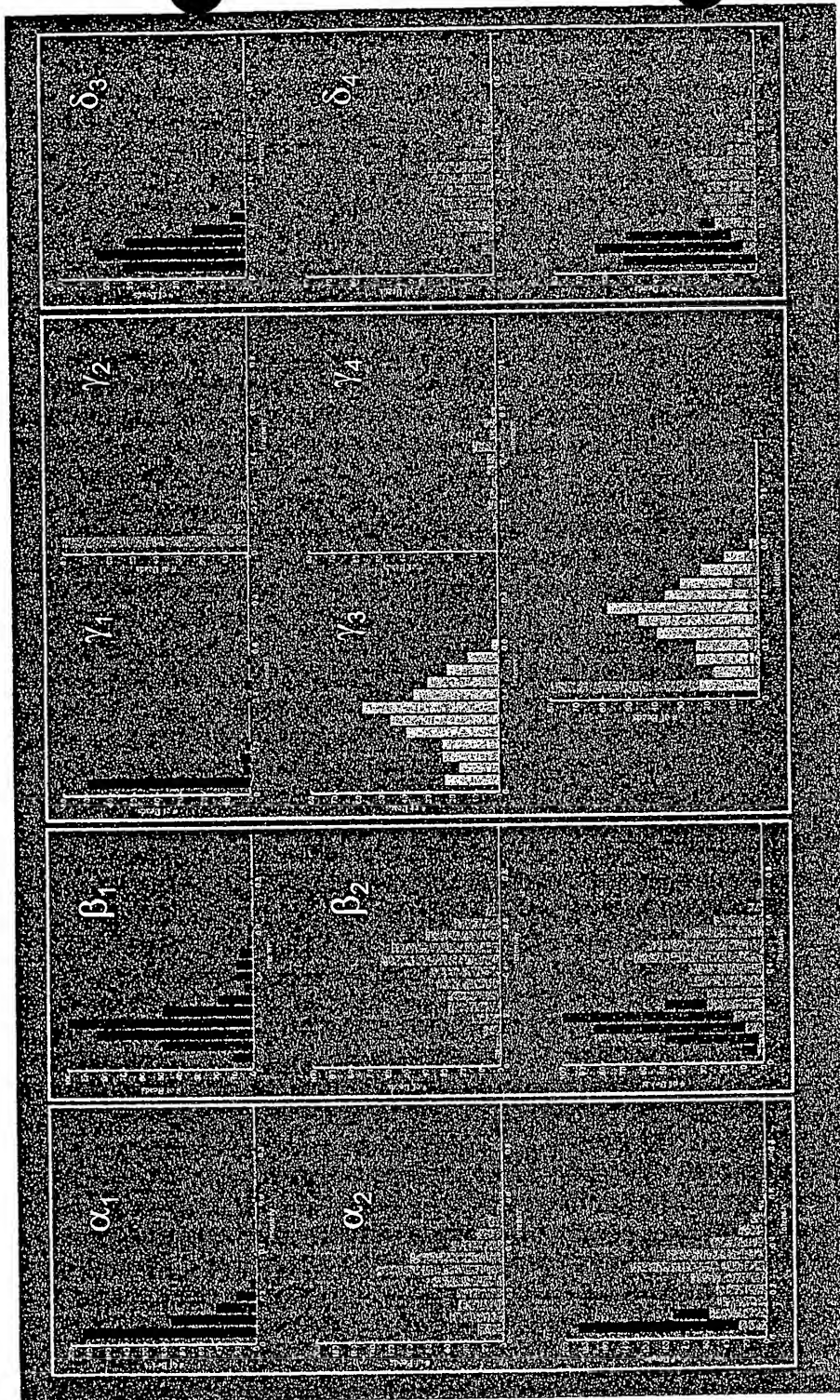
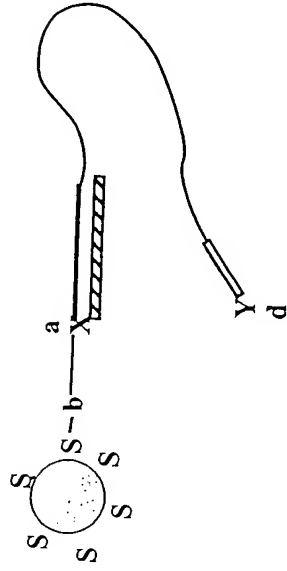
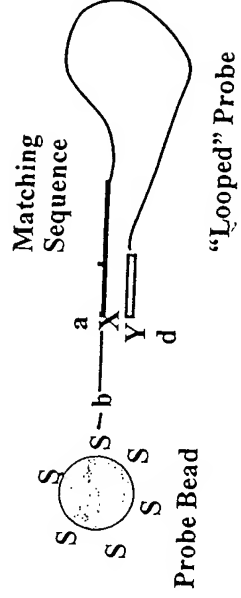
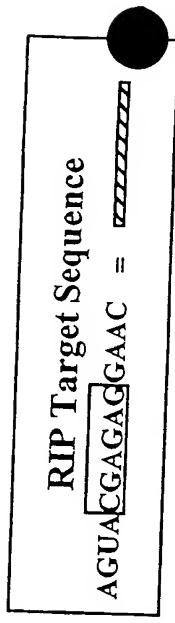
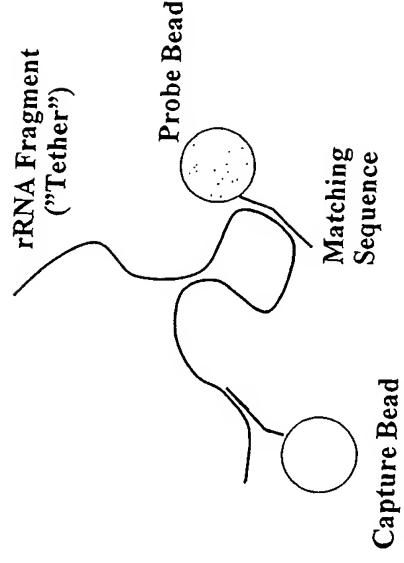


Fig. 15



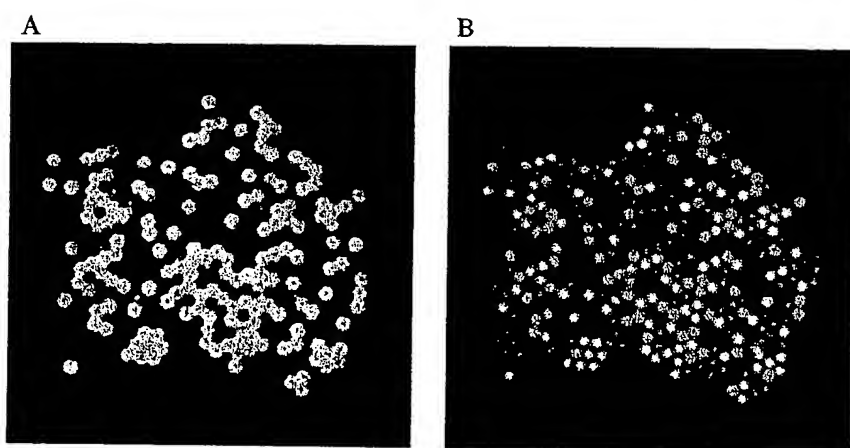
**Competitive Hybridization**  
 a, d: donor/acceptor pair



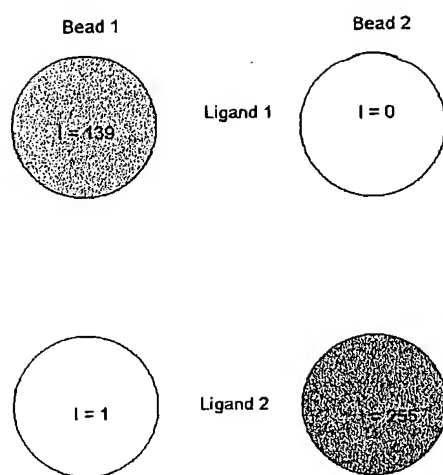
**Bead-Doublet**

**Fig. 16**

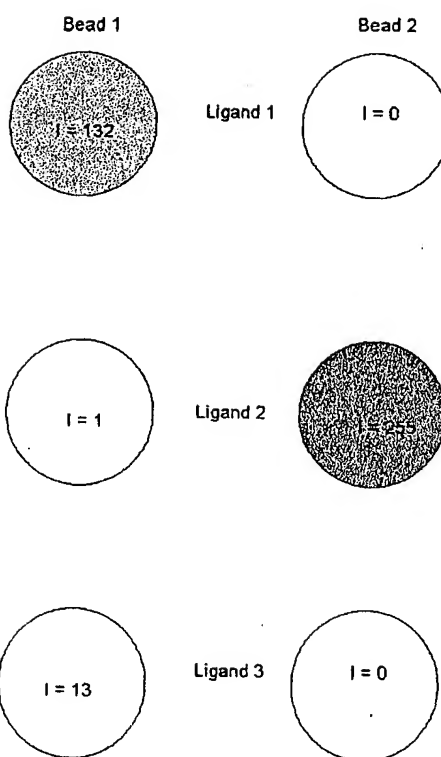




**Fig. 17**



**Fig. 18A**



**Fig. 18B**

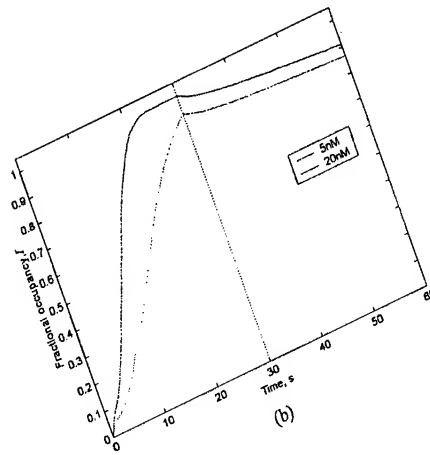
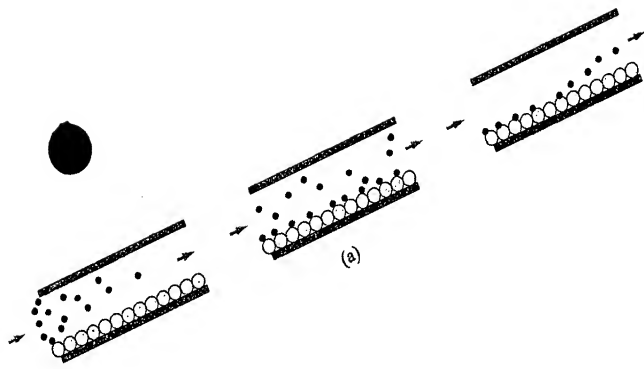


Fig. 19

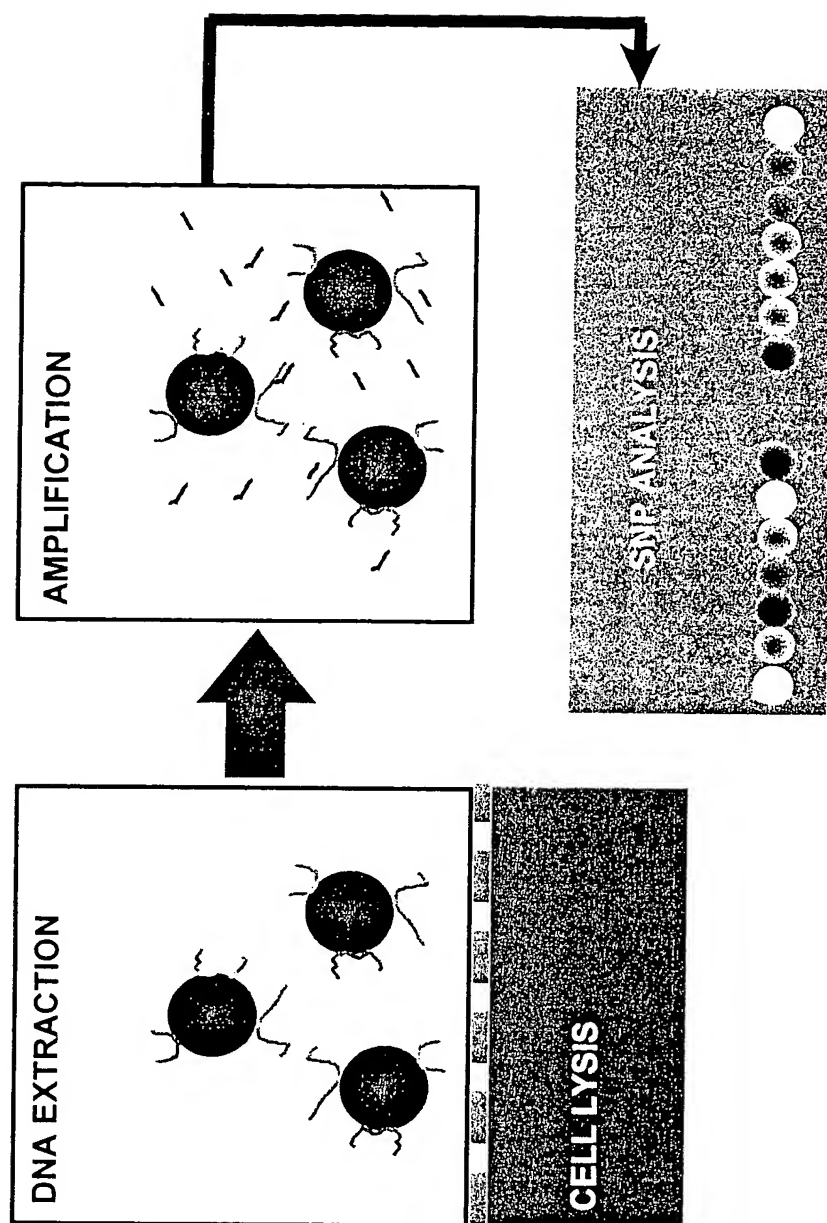


Fig. 20

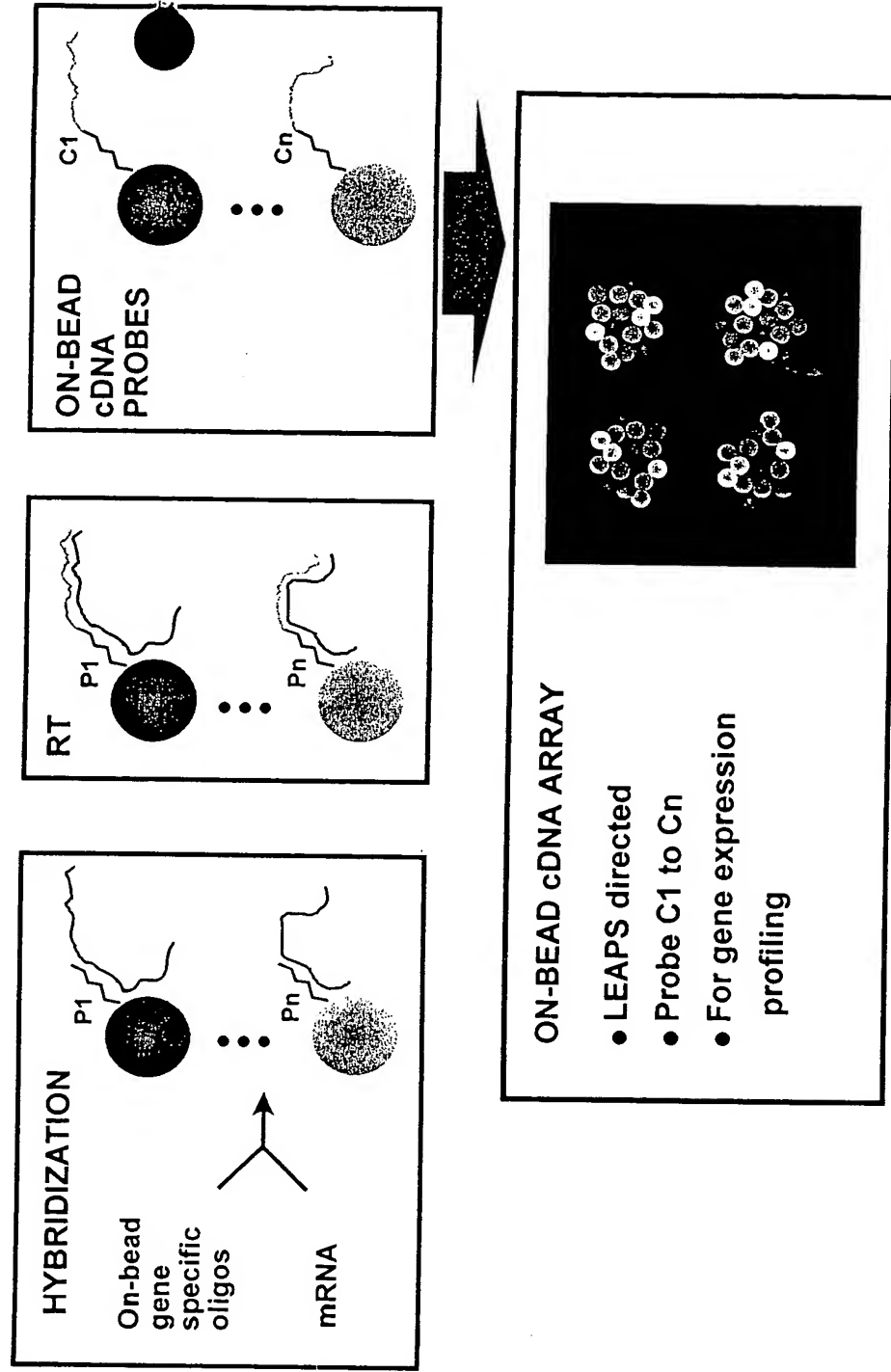


Fig. 21

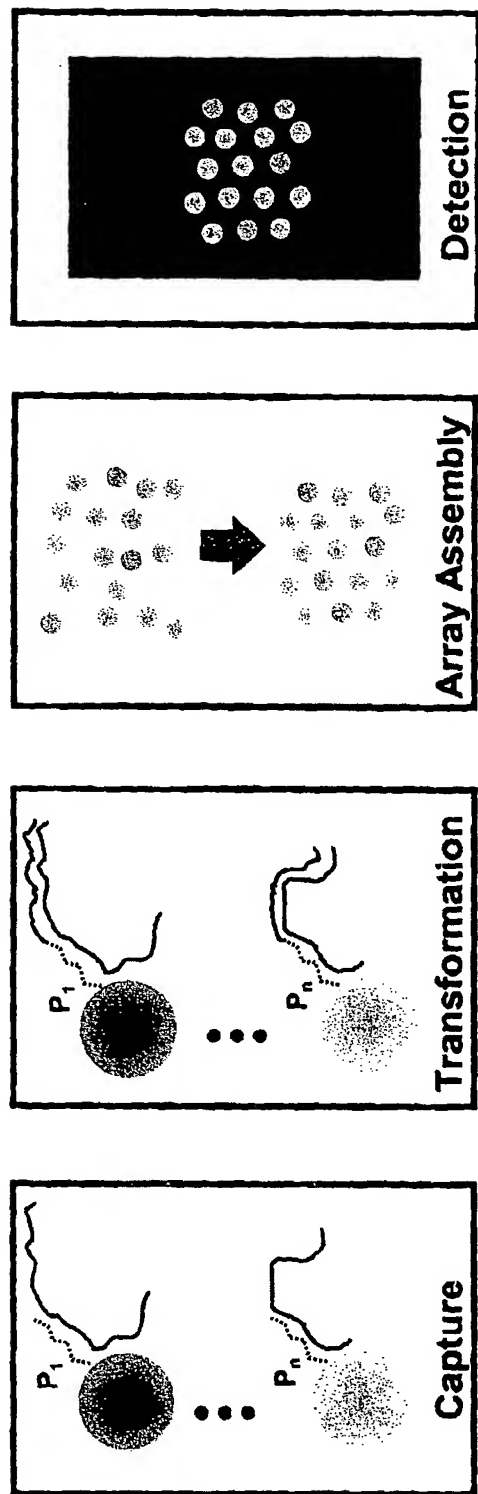


Fig. 22

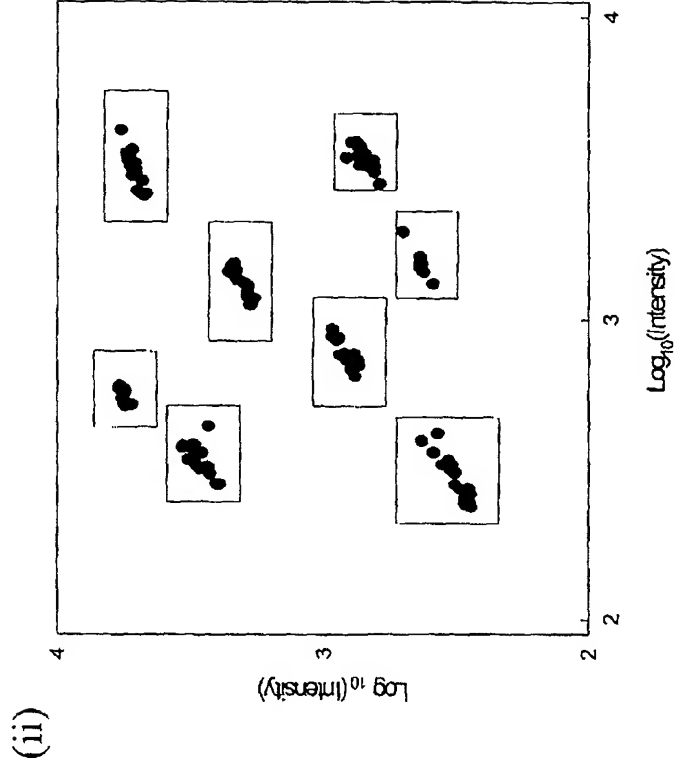
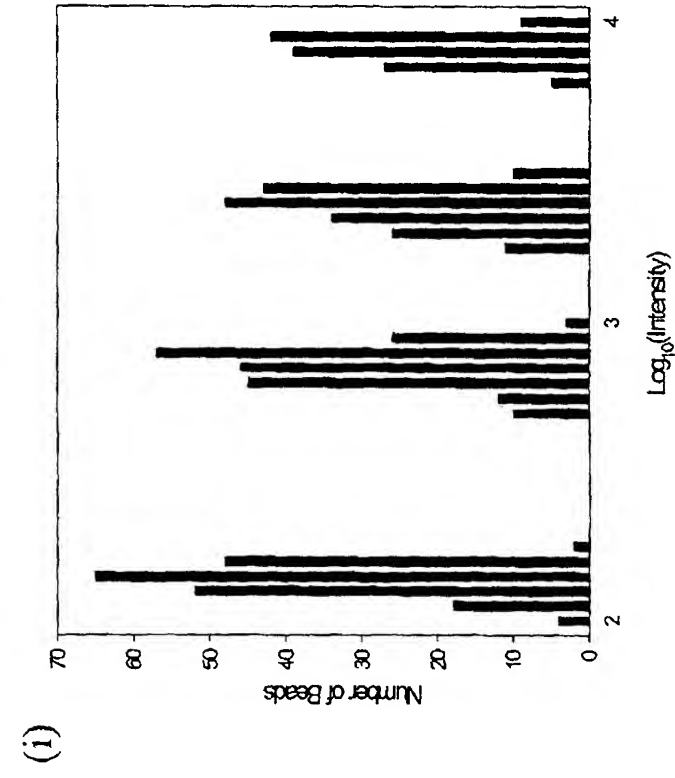


Fig. 23



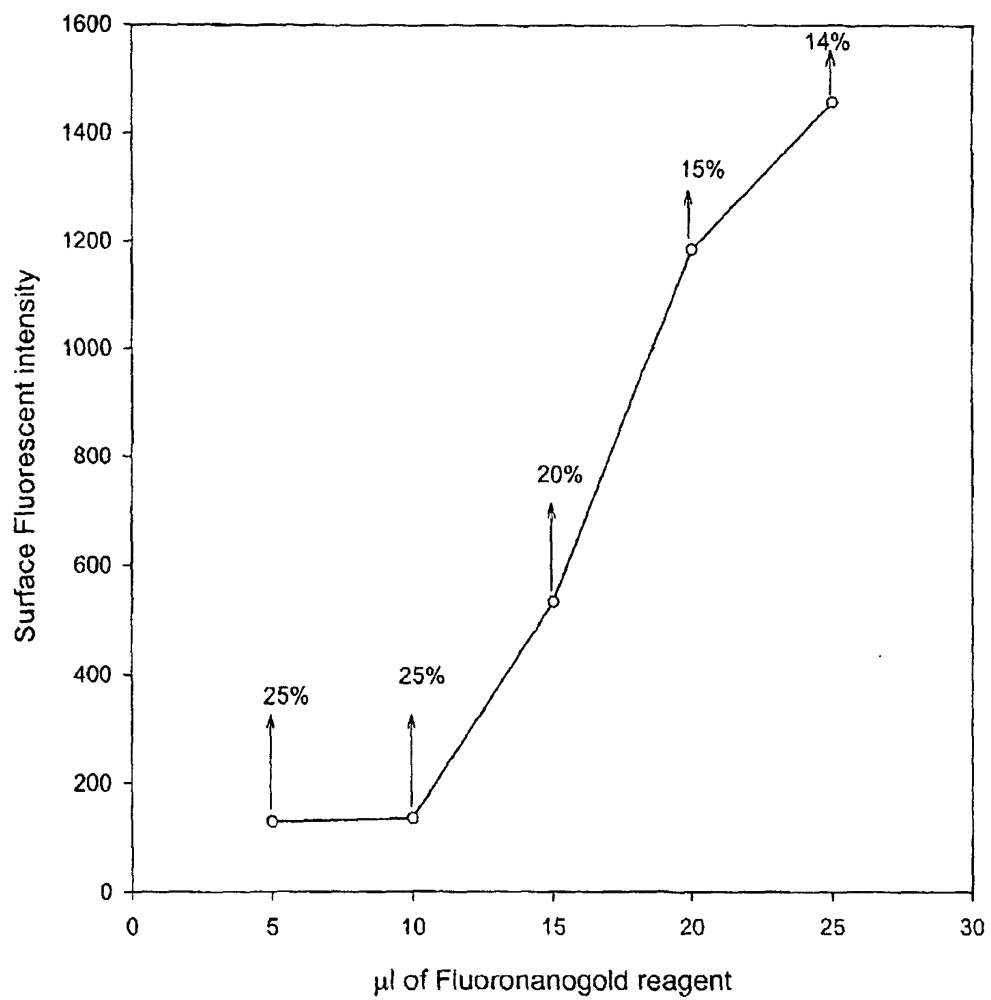


Fig. 24

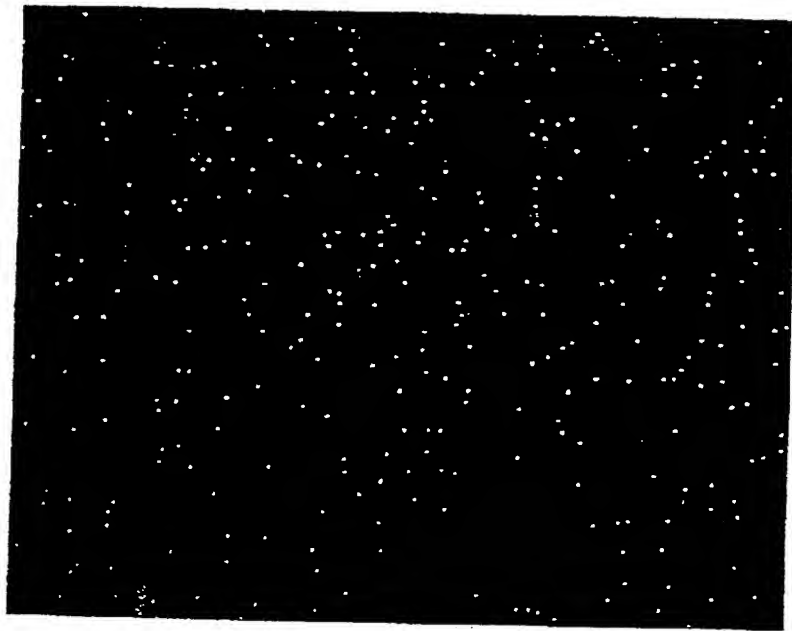


Fig. 25

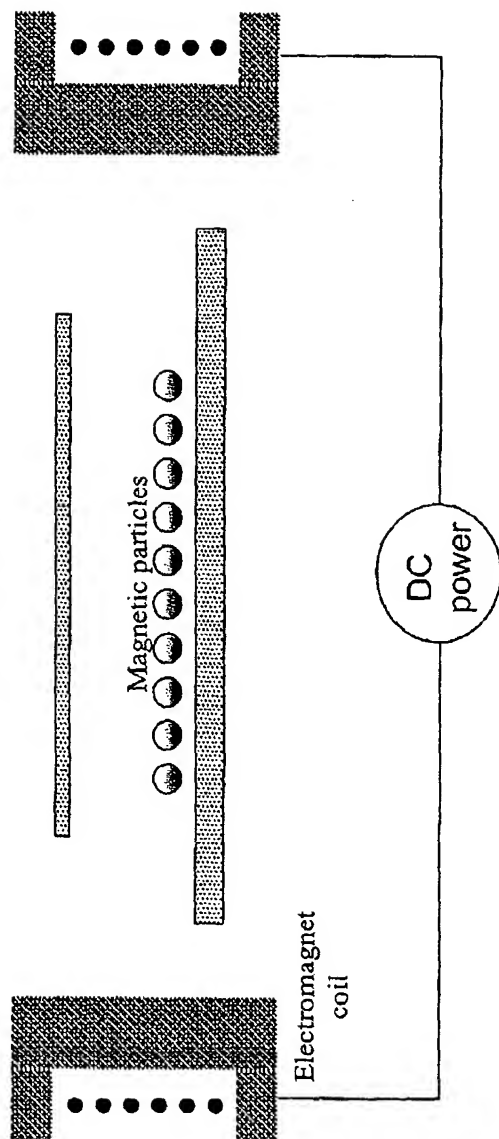


Fig. 26

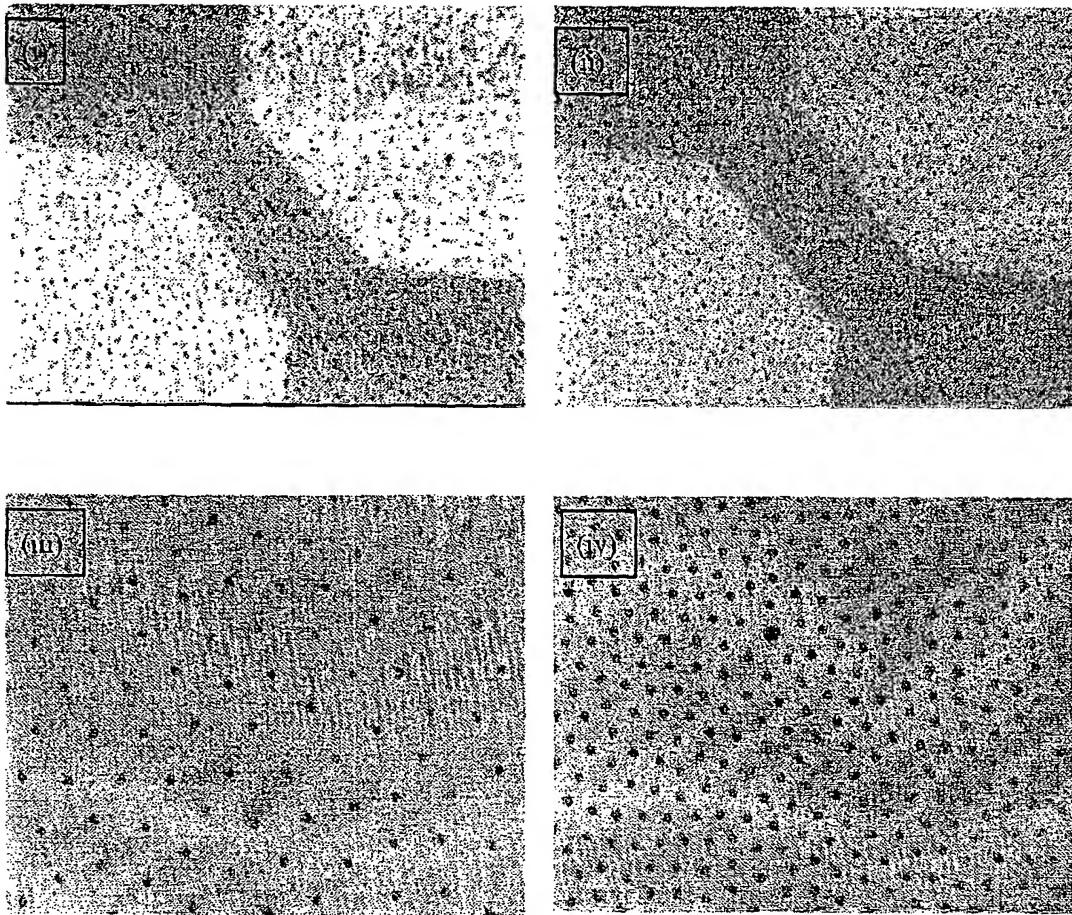


Fig. 27

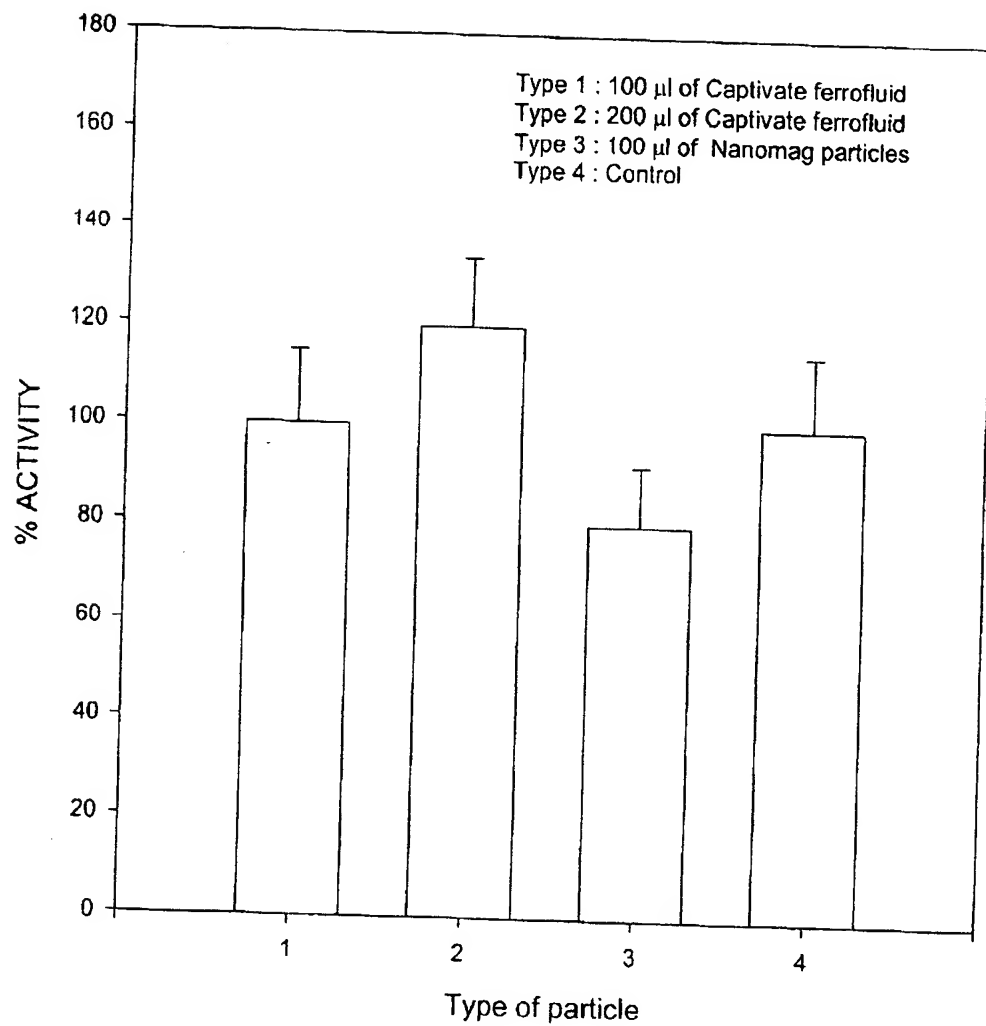


Fig. 28

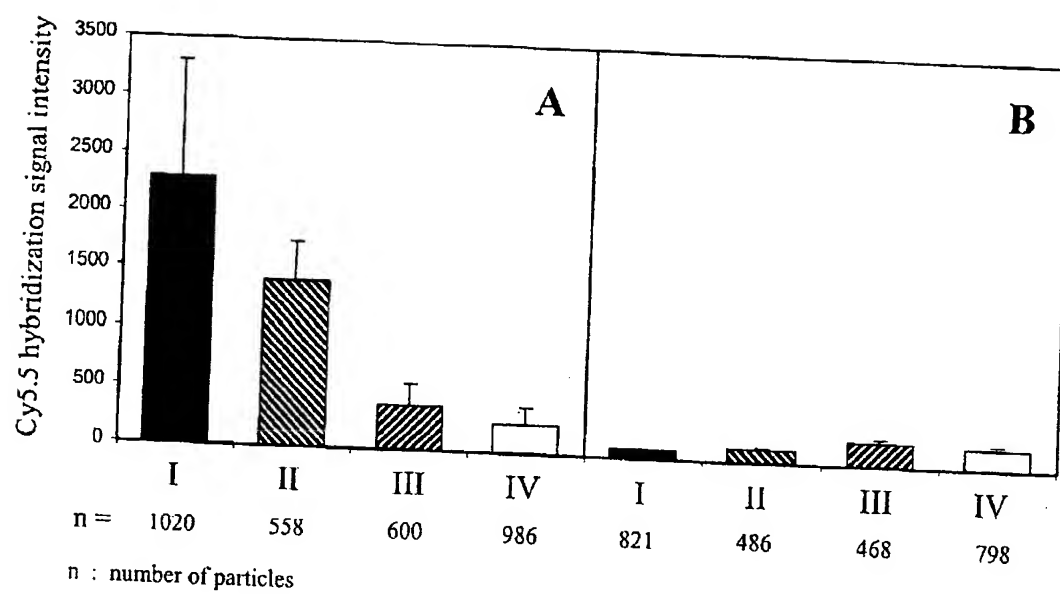


Fig. 29